

ΠΡΑΚΤΙΚΑ ΤΗΣ ΑΚΑΔΗΜΙΑΣ ΑΘΗΝΩΝ

ΣΥΝΕΔΡΙΑ ΤΗΣ 18^{ΗΣ} ΝΟΕΜΒΡΙΟΥ 1971

ΠΡΟΕΔΡΙΑ ΣΠΥΡ. ΜΑΡΙΝΑΤΟΥ

ΜΕΤΕΩΡΟΛΟΓΙΑ.—'Επὶ τῆς χρονικῆς κατανομῆς τῶν βροχῶν κατὰ τὰς διεύσεις ψυχρῶν μετώπων ἐξ Ἀθηνῶν (Σταθμὸς Ἐθνικοῦ Ἀστεροσκοπείου)*, ὑπὸ Δεων. *N. Karapiperis* καὶ Ἰωάν. *D. Zampakas*.
*Ανεκοινώθη ὑπὸ τοῦ Ἀκαδημαϊκοῦ κ. Ἡλία Μαριολοπούλου.

1. Εἰσαγωγὴ

Ἡ ἔννοια τῶν μετωπικῶν ἐπιφανειῶν ἀσυνεχείας, εἰσαχθεῖσα καὶ ἀναπτυχθεῖσα ἀρχικῶς ὑπὸ τῆς Νοοβηγικῆς Σχολῆς τῶν Μετεωρολόγων, βαθέως ἐπηρέασε τὴν Μετεωρολογίαν τοῦ παρόντος αἰῶνος (3). Διότι αἱ ἐπιφάνειαι αὗται εἶναι σημαντικοὶ ἀτμοσφαιρικοὶ σχηματισμοὶ δημιουργοῦντες ἀνομοιομόρφους κατακορύφους μετακινήσεις, ἴδιόμορφον κατανομὴν τῶν ἀτμοσφαιρικῶν κατακρημνισμάτων χρονικῶς καὶ ἐπιφανειακῶς (2), ἵσχυρὰς δριζόντιος καὶ κατακορύφους βαθμίδας ταχύτητος ἀνέμου, μεγάλας κατακορύφους μεταφορὰς θερμότητος καὶ δρμῆς ὡς καὶ σημαντικὴν διασπορὰν ἐνεργείας εἰς τὴν ἐλευθέραν ἀτμόσφαιραν.

Προκειμένου περὶ τῶν ἀτμοσφαιρικῶν κατακρημνισμάτων, ταῦτα συμβαίνονταν κυρίως ἐντὸς τῆς ζώνης μεταφορᾶς (conveyor belt), ὅπου παρατηροῦνται ἐπίσης δριζόντιοι καὶ κατακόρυφοι μεταφοραὶ θερμότητος, ὑγρασίας καὶ δρμῆς καὶ γενικῶς εὐρείας κλίμακος μετακινήσεις (4).

Σκοπὸς τῆς παρούσης μελέτης εἶναι ἡ σπουδὴ τῆς κατανομῆς τῆς βροχῆς ἐν σχέσει πρὸς τὸν χρόνον διελεύσεως ἐνὸς ψυχροῦ μετώπου δι’ ἐνὸς τόπου καὶ

* LEON. N. KARAPIPERIS and JOHN D. ZAMPAKAS, On the time distribution of precipitatory during the passage of cold fronts over Athens (The National Observatory Station).

ώς τοιοῦτος ἐπελέγη δ Σταθμὸς τοῦ Ἀστεροσκοπείου Ἀθηνῶν. Αἱ συντεταγμέναι τοῦ Σταθμοῦ τούτου εἶναι $\varphi = 37^{\circ} 58' B$, $\lambda = 23^{\circ} 43' A$, καὶ $h = 107 \text{ m}$, ἡ δὲ ἀπόστασις αὐτοῦ ἀπὸ τῆς Φαληρικῆς ἀκτῆς 5 km, περίπου.

2. Κριτικὴ καὶ ἐπεξεργασία τοῦ χρησιμοποιηθέντος ὄλικοῦ

Ο χρόνος διελεύσεως τοῦ ψυχροῦ μετώπου διὰ τοῦ Σταθμοῦ καθωρίσθη βάσει τῶν ταινιῶν τοῦ βαρογράφου, θερμογράφου, ἀνεμογράφου καὶ ἐν συνδυασμῷ καὶ μετὰ τῶν χαρτῶν καιροῦ, διὰ τῶν ὅποίων ὅμως δὲν εἶναι δυνατὸν νὰ καθορισθῇ δ ἀκριβῆς χρόνος διελεύσεως τοῦ μετώπου, δοθέντος ὅτι οὗτοι συντάσσονται εἰς τακτὰς μόνον ὥρας.

Τὰ διερχόμενα μέτωπα παρουσιάζουν κλίσεις κυμαινομένας μεταξὺ 1/40 καὶ 1/400 (1), κινοῦνται δὲ κατὰ τὸ πλεῖστον ἐκ δυσμῶν πρὸς ἀνατολάς. Ως πρὸς τὴν ὁρογραφικὴν ἐπίδρασιν ἐπὶ τῆς βροχῆς, αὕτη εἰς τὴν ἔξεταζομένην περιοχὴν δὲν εἶναι σοβαρά.

Ως βασικὴ περίοδος εἰς τὴν ὑπὸ ὅψιν μελέτην ἐλήφθη ἡ δεκαετία 1961-1970. Εἰς τὴν περίοδον ταύτην ἐνετοπίσθησαν ἀρχικῶς ἡμέραι διαβάσεως βροχοφόρων διαταραχῶν κατὰ τὴν διάρκειαν τῶν ὅποίων τὸ ὄψις τῆς βροχῆς ἦτο \geqslant τῶν 20.0 mm. Ενδέθησαν συνολικῶς 48 τοιαῦται περιπτώσεις ἐκ τῶν ὅποίων ὅμως μόνον αἱ 15 δύνανται νὰ ἀποδοθοῦν ἀσφαλῶς εἰς διελεύσεις τυπικῶν ψυχρῶν μετώπων. Τὸ τελευταῖον τοῦτο ἔξηκριβώθη διὰ λεπτομεροῦς ἀναλύσεως τῶν ἡμερησίων συνοπτικῶν χαρτῶν καιροῦ.

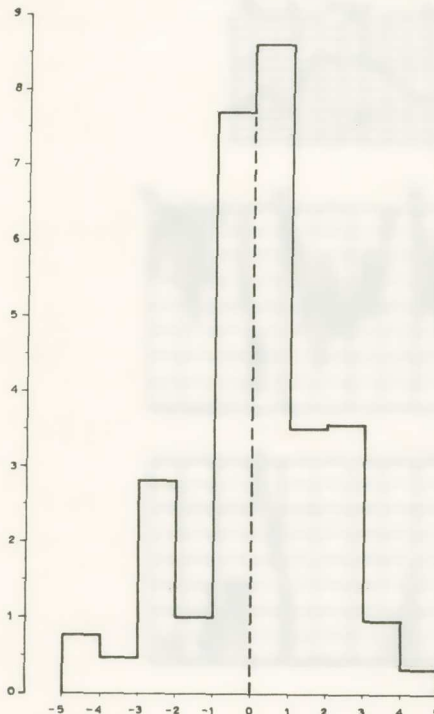
Οσον ἀφορᾷ εἰς τὸν χρόνον διελεύσεως τῶν μετώπων, οὗτος καθωρίσθη βάσει τῶν ταινιῶν κυρίως τοῦ βαρογράφου, ἐπὶ τῶν ὅποίων ἡ διέλευσις τοῦ μετώπου ἀπεικονίζεται διὰ μικροῦ ἀγκύστρου, ὃς καὶ τῶν ταινιῶν τοῦ ἀνεμογράφου δοθέντος ὅτι κατὰ τὴν διέλευσιν τῶν μετώπων παρουσιάζεται ἀλλαγὴ εἰς τὴν διεύθυνσιν καὶ μεταβολὴ εἰς τὴν ἔντασιν τοῦ ἀνέμου. Υπὸ ὅψιν ἐπίσης ἐλήφθησαν καὶ αἱ ταινίαι τοῦ θερμογράφου. Παρότι διέλευσις δὲν ἦτο δυνατὸν νὰ καθορισθῇ ἐπακριβῶς εἰς δλας τὰς περιπτώσεις, δι’ δὲ καὶ εἰς μερικὰς καθωρίσθη μὲ προσέγγισιν $\pm 30 \text{ min.}$, περίπου.

3. Χρονικὴ κατανομὴ τῆς βροχῆς εἰς τὰ ψυχρὰ μέτωπα

Εἰς τὸν πίνακα 1 δίδονται τὰ ὄψη βροχῆς τὰ σημειωθέντα κατὰ τὴν διάρκειαν τῶν 5 ὡρῶν πρὸ καὶ τῶν 5 ὡρῶν μετὰ τὴν διάβασιν τῶν ψυχρῶν μετώπων εἰς τὰς 15 ἐκ τῶν ἔξετασθεισῶν περιπτώσεων εἰς τὰς ὅποίας τὸ συνολικὸν ποσὸν βροχῆς ἀνῆλθεν εἰς 447,1 mm. Έκ τοῦ πίνακος τούτου συνάγεται ὅτι εἰς τὰς 9

ἐκ τῶν 15 περιπτώσεων τὸ μεγαλύτερον ὕψος βροχῆς ἐσημειώθη μετὰ τὴν διέλευσιν τοῦ ψυχροῦ μετώπου. Πλέον συγκεκριμένως τὰ 57,21 % τοῦ ὀλικοῦ ὕψους τῆς ὀφειλομένης εἰς τὰ τυπικὰ ψυχρὰ μέτωπα βροχῆς ἐσημειώθησαν μετὰ τὴν διέλευσιν τῶν μετώπων καὶ τὰ 42,78 % πρὸ τῆς διελεύσεως αὐτῶν.

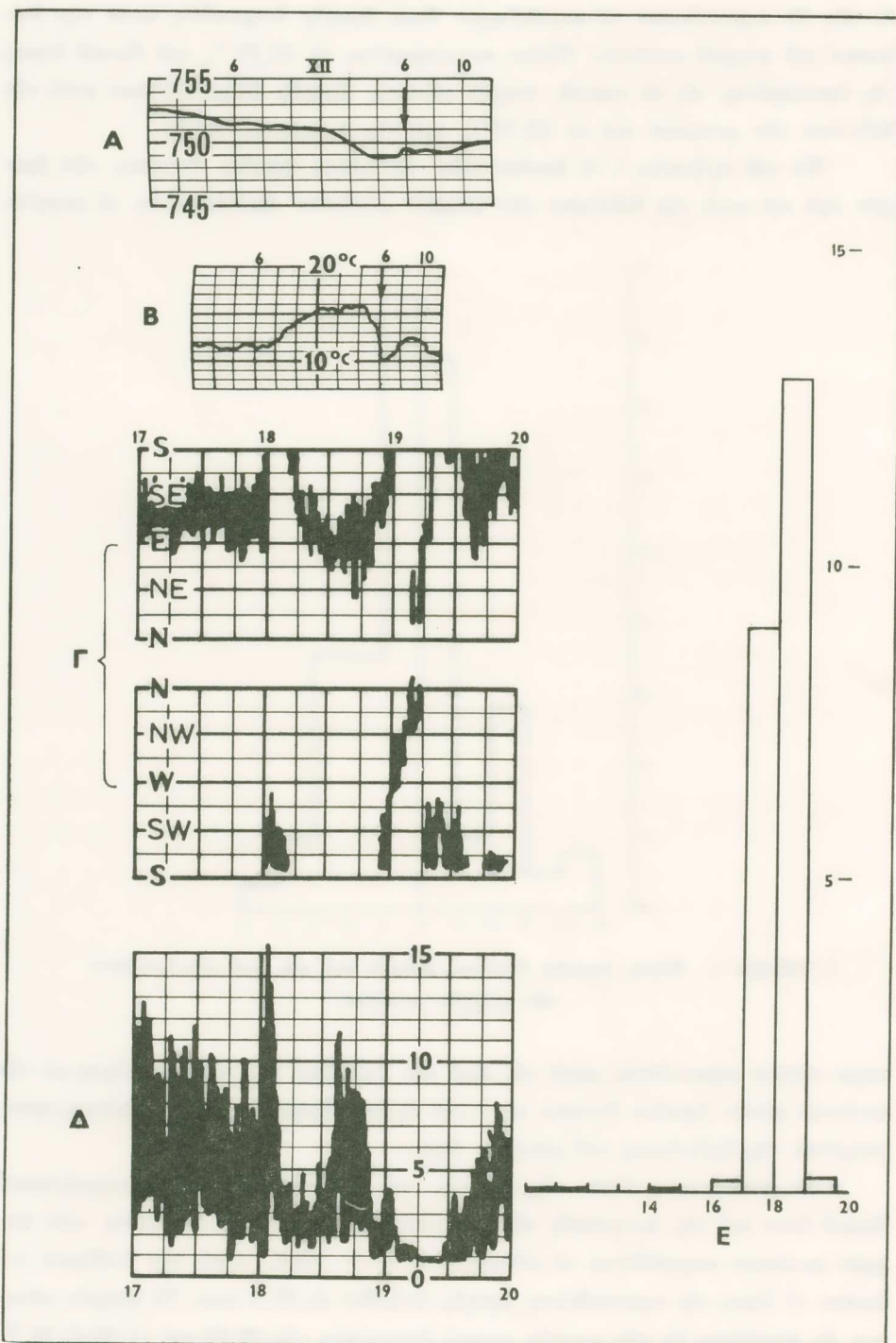
⁷Ἐκ τοῦ σχήματος 1 τὸ ὅποιον δίδει τὰς μέσας ὡριαίας ἐντάσεις τῶν βροχῶν πρὸ καὶ μετὰ τὴν διέλευσιν τῶν ψυχρῶν μετώπων προκύπτει ὅτι αἱ μεγαλύ-



Σχῆμα 1. Μέσαι ὡριαῖαι ἐντάσεις βροχῶν πρὸ καὶ μετὰ τὴν διέλευσιν τῶν ψυχρῶν μετώπων.

τεραι τούτων σημειοῦνται κατὰ τὰς περὶ τὴν διέλευσιν τῶν μετώπων ὥρας μὲ τὴν μεγίστην μέσην ὡριαίαν ἔντασιν κατὰ τὴν ἀμέσως ἐπομένην καὶ τὴν ἀμέσως προηγουμένην τῆς διελεύσεως τοῦ μετώπου ὥραν.

⁸Ως παράδειγμα τόσον τῆς κριτικῆς καὶ ἐπεξεργασίας τοῦ μετεωρολογικοῦ ὄλικοῦ ὅσον καὶ τῆς κατανομῆς τῶν βροχοπτώσεων κατὰ τὰς διαβάσεις τῶν ψυχρῶν μετώπων παρατίθεται τὸ μέτωπον τῆς 6 - 3 - 1966, κατὰ τὴν διάβασιν τοῦ δροίου τὸ ὕψος τῆς σημειωθείσης βροχῆς ἀνῆλθεν εἰς 22,4 mm. Τὸ ψυχρὸν μέτωπον, ὃς προκύπτει ἐκ τῶν χαρτῶν καιροῦ ἐπιφανείας τῆς 06.00 καὶ 18.00 G.M.T.



Σχήμα. 2. Ταινία βαρογράφου (Α), θερμογράφου (Β), διεύθυνσις (Γ) και ξετασίς (Δ) άνεμου ως και τὸ ιστόγραμμα (Ε) τῆς βροχοπτώσεως τῆς 6-3-1966.

“Χψη βροχής προδ και μετά την διέλευσιν τῶν φυγέων μετώπων

α/α	*Ημ/νία	*Ολικόν ποσόν	Ποσόν προδό	-5	-4	-3	-2	-1	1	2	3	4	5	Πεσόν με τά
1	6-11-61	81,9	45,2	0	0,2	10,0	5,0	30,0	28,2	8,0	0,5	0,0	0	36,7
2	12- 4-62	2,7	2,7	0,8	0,8	1,1	0	0	0	0	0	0,0	0,0	0,0
3	25- 9-62	47,1	14,4	0,0	0,0	0,0	14,4	21,1	0,3	5,0	5,7	0,6	32,7	
4	10-10-63	22,3	10,4	0,1	0,1	1,2	4,0	5,0	2,0	4,0	0,9	0,0	11,9	
5	29-11-63	22,6	15,1	8,8	3,8	0,8	1,3	0,4	0,0	1,3	6,2	0	0	7,5
6	24- 1-65	19,5	0,7	0,1	0,0	0	0,2	0,4	3,8	4,3	5,6	3,1	2,0	18,8
7	10- 2-65	16,7	2,3	0,8	1,5	0	0	0	0,3	11,8	1,1	0,8	0,4	14,4
8	19- 2-65	49,0	36,3	0,1	0,0	2,8	0,4	33,0	10,5	2,2	0	0	0	12,7
9	6- 3-66	22,4	9,2	0	0,0	0	0,2	9,0	13,0	0,2	0	0	0	13,2
10	23-12-66	15,0	13,5	0,8	0,5	9,8	2,4	0	0	0,1	0,0	1,4	0	1,5
11	5-10-67	19,7	0	0	0	0	0	15,9	3,6	0,2	0	0	0	19,7
12	19-10-67	19,7	16,6	0	0	16,3	0,3	0	0	0	0,0	1,8	1,3	3,1
13	1-12-67	26,3	0,0	0	0	0	0	0	0,4	2,6	22,8	0,1	0,4	26,3
14	25- 6-68	55,0	20,2	0	0,0	0,2	0	20,0	30,5	4,3	0	0	0	34,8
15	9-12-69	27,2	4,7	0	0,0	0,0	1,2	3,5	1,4	12,0	8,0	0,8	0,3	22,5
$\Sigma \delta v o l o v$		447,1	191,3	11,5	6,9	42,2	15,0	115,7	130,1	52,7	53,4	14,6	5,0	255,8
M. O. %		0,77	0,46	2,81	1,00	7,71	8,67	3,51	3,56	0,97	0,33			57,21

τῆς 6 - 3 - 66, διηλθεν ἐκ τῆς περιοχῆς ³Αθηνῶν μεταξὺ 08.00 καὶ 20.00 L. T., ἡ διάβασις δὲ αὐτοῦ ὡς πιστοποιεῖται ἐκ τοῦ σχήματος 2 διὰ τῶν ταινιῶν τοῦ βαρογράφου (Α), θερμογράφου (Β) καὶ ἀνεμογράφου (Γ, Δ) συνέβη περὶ τὴν 18.00 τοπικὴν ὥραν. ⁴Ως πρὸς τὴν διανομὴν τοῦ ὕψους βροχῆς ἐκ τῶν 22,4 mm, πρὸς τῆς διαβάσεως τοῦ μετώπου ἐσημειώθησαν τὰ 9,2 mm, μετὰ δὲ τὴν διάβασιν 13,2 mm.

Πλὴν τῶν ἀνωτέρω περιπτώσεων ἔξητάσθησαν διὰ τὸ ἔτος 1967 καὶ 14 ψυχρὰ μέτωπα, τὸ ὕψος τῆς σημειωθείσης βροχῆς κατὰ τὴν διέλευσιν ἐκάστου τῶν ὅποιων ᾧτο μικρότερον τῶν 20.0 mm. ⁵Ἐκ τῆς ἐπεξεργασίας τῶν δεδομένων τῶν περιπτώσεων τούτων προέκυψεν ὅτι τὰ 53,8 % τοῦ ὕψους βροχῆς ἐσημειώθησαν μετὰ τὴν διάβασιν καὶ τὰ 46,2 % πρὸ τῆς διαβάσεως τῶν ψυχρῶν μετώπων.

Τὸ γεγονός ὅτι τὰ μεγαλύτερα ὕψη βροχῆς συμβαίνουν εὐθὺς μετὰ τὴν διάβασιν τοῦ ψυχροῦ μετώπου ἔξηγεῖται καὶ ἀν λάβωμεν ὑπὸ ὄψιν ὅτι σχεδὸν ὀλόκληρος ἡ βροχόπτωσις εἰς τὴν στενὴν περιοχὴν μιᾶς ψυχρᾶς μετωπικῆς διαταράξεως προέρχεται ἐκ τοῦ θερμοῦ τομέως (6), ὅστις ὡς γνωστὸν παρουσιάζει μεγαλυτέραν ἀστάθειαν (5), ἀνοδικὸν πεδίον λίαν ἐνισχυμένον καὶ μεγαλύτερον φορτίον ὑδρατμῶν καὶ ὁ ὅποιος ἐκτείνεται εἰς τὴν πλειονότητα τῶν περιπτώσεων ὑπεράνω τοῦ ψυχροῦ τομέως, ἐπιπροστιθεμένου οὕτῳ τοῦ μηχανικοῦ ἐπιθετικοῦ αἵτίου τῆς προχωρούσης ψυχρᾶς σφηνός.

⁶Υπάρχουν ὅμως περιπτώσεις κατὰ τὰς ὅποιας ὁ θερμὸς ἀηδὸν ἀνέρχεται μόνον ὑπεράνω τῆς γλώσσης τοῦ ψυχροῦ ἀέρος τῆς εἰσχωρούσης παρὰ τὸ ἔδαφος ὑπὸ τὸν θερμὸν ἀέρα, ὅπότε ὀγκώδεις σωρειτομελανίαι σχηματίζονται ὀλίγον πρὸ τοῦ ψυχροῦ τομέως. Εἰς τὰς περιπτώσεις ταύτας αἱ βροχαὶ συμβαίνουν κυρίως πρὸ τῆς διαβάσεως τοῦ ψυχροῦ τομέως.

S U M M A R Y

In this study the distribution of precipitation caused by cold fronts is examined in relation to the time that the front crosses the station of the National Observatory of Athens. For the period 1961-1970 the cold fronts crossing the station and giving precipitation amount ≥ 20.0 mm are considered. For the year 1967 all the cold fronts are taken regardless of the amount of precipitation. The 15 cases of the former category and the 14 of the latter are carefully selected to be free of other dynamical factors and weather systems giving precipitation. Determination of the time in which the surface cold front was just over the station is

achieved through the indications of the weather maps and the records of pressure, temperature and wind. The time distribution of the associated precipitation at the National Observatory of Athens shows that:

1. The cold front precipitation at the National Observatory of Athens is distributed in time in such a way that more than 50% occurs after the passage of the surface front.

2. The greatest mean hourly intensities of precipitation generally occur around the passage and especially the hour immediately after it.

These results are easily explained, keeping in mind the instability of the warm sector and adding the aggressive action of the moving cold wedge.

ΒΙΒΛΙΟΓΡΑΦΙΑ

1. HESS, S. L.: Introduction to theoretical Meteorology, 1966, p. 175 and 227.
2. ΚΑΡΑΠΙΠΕΡΗΣ, Λ. Ν.: Περιγραφική Μετεωρολογία, 1967, σελ. 172-269 και 386-407.
3. ΚΑΡΑΠΙΠΕΡΗΣ, Λ. και ΖΑΜΠΑΚΑΣ, Ι.: Εισαγωγή εις τὴν Δυναμικήν Μετεωρολογίαν, ὑπὸ ἔκδοσιν.
4. ROYAL METEOROLOGICAL SOCIETY: The global circulation of the atmosphere, London, 1969.
5. ΖΑΜΠΑΚΑΣ, Ι. Δ.: Συμβολὴ εις τὴν μελέτην τῶν ἀεροχειμάρρων. Διατριβὴ ἐπὶ διδακτορίᾳ, 1970, σελ. 49.

ΠΕΡΙΛΗΨΙΣ

Εἰς τὴν μελέτην ταύτην ἔξετάζεται ἡ χρονικὴ κατανομὴ τῶν βροχοπτώσεων κατὰ τὰς διελεύσεις τῶν ψυχρῶν μετώπων.

Πρὸς τοῦτο καὶ διὰ τὴν περίοδον 1961 - 1970 ἐλήφθησαν ὑπὸ ὅψιν ὅλα τὰ τυπικὰ ψυχρὰ μέτωπα τὰ προκαλέσαντα βροχόπτωσιν ≥ 20.0 mm εἰς τὸν Σταθμὸν τοῦ Ἐθνικοῦ Ἀστεροσκοπείου Ἀθηνῶν, διὰ δὲ τὸ ἔτος 1967 ὅλα τὰ τυπικὰ ψυχρὰ μέτωπα μὲν ὑψος βροχῆς μικρότερον τῶν 20.0 mm.

Αἱ 15 περιπτώσεις τῆς πρώτης κατηγορίας καὶ αἱ 14 τῆς δευτέρας ἐπελέγησαν οὕτως ὥστε νὰ εἶναι ἀπηλλαγμέναι ἀλλων δυναμικῶν παραγόντων καὶ συστημάτων καιροῦ. Ὁ προσδιορισμὸς τοῦ ἀριθμοῦς χρόνου, καθ' ὃν τὸ ἐπιφανειακὸν μέτωπον διῆλθεν διὰ τοῦ Σταθμοῦ, ἐπετεύχθη διὰ τῶν χαρακτηριστικῶν, ὡς γνωστόν, ὑποδείξεων τῶν χαρτῶν καιροῦ καὶ κυρίως τῶν ταινιῶν βαρογράφου, θερμο-

γράφου καὶ ἀνεμογράφου. Τὰ κύρια συμπεράσματα τῆς ἐν λόγῳ μελέτης εἶναι τὰ ἀκόλουθα :

1. Τὸ μεγαλύτερον ποσὸν τῶν βροχῶν ψυχροῦ μετώπου λαμβάνει χώραν μετὰ τὴν διέλευσιν τοῦ ἐπιφανειακοῦ μετώπου.

2. Αἱ μέγισται μέσαι ὡραιαῖαι ἐντάσεις τῆς βροχοπτώσεως παρατηροῦνται γενικῶς περὶ τὴν διάβασιν μὲ τὴν ἀπολύτως μεγίστην ἀμέσως μετὰ τὴν διέλευσιν τοῦ ψυχροῦ μετώπου.

Τὰ ἀποτελέσματα ταῦτα ἔρμηνεύονται εὐκόλως ἐάν ληφθῇ ὑπὸ ὅψιν ἡ γνωστὴ ἀστάθεια τοῦ θερμοῦ τομέως εἰς ᾧν ἐπιπροστίθεται ἡ μηχανικὴ ἐπιθετικὴ δρᾶσις τῆς ὑπὸ αὐτὸν προχωρούσης ψυχρᾶς σφηνός.
